

**КРАТКИЕ СООБЩЕНИЯ  
И ПИСЬМА В РЕДАКЦИЮ**

УДК 550 388.2

**НЕУСТОЙЧИВОСТЬ ФАРЛИ—БУНЕМАНА В ПЛАЗМЕ  
С ДВУМЯ СОРТАМИ ИОНОВ**

*М. Ф. Злотников, В. А. Шафтан*

Проанализировано влияние химического состава плазмы на развитие неустойчивости Фарли—Бунемана. Рассмотрение проведено численно, в гидродинамическом приближении, для плазмы с параметрами *E*-слоя полярной ионосферы.

Вопросы развития неустойчивости Фарли—Бунемана в ионосферной плазме рассмотрены в линейном приближении достаточно подробно [1–4]. В упомянутых работах, делавшихся применительно к *E*-слою ионосферы, предполагалось, что плазма состоит из одного сорта ионов — обычно  $\text{NO}^+$ , однако концентрация металлических ионов в *E*-слое, по различным источникам, может достигать величин порядка  $10^4$ – $10^5 \text{ см}^{-3}$  [5, 6], т. е. стать сравнимой с концентрацией основных ионосферных ионов  $\text{NO}^+$ .

Дисперсионное уравнение решалось в виде [3]

$$1 - \sum_L \frac{\omega_{0L}^2 (\omega_L'^2 - \omega_{HL}^2 \cos^2 \theta)}{\omega_L' \omega_L'' (\omega_L'^2 - \omega_{HL}^2) - k^2 V_{TL}^2 (\omega_L'^2 - \omega_{HL}^2 \cos^2 \theta)} = 0, \quad (1)$$

где *L* принимает в зависимости от химического состава плазмы значения *e*, *i*1, *i*2 и т. д.,  $\omega_{0L}^2 = 4\pi e^2 N_0 M_L^{-1}$  — плазменная частота *L*-компоненты,  $\omega_{HL} = eH_0 M_L^{-1}$  — гирочастота,  $V_{TL}^2 = KT_L M_L^{-1}$  — тепловая скорость, *K* — постоянная Больцмана,  $\tilde{\omega}$  — комплексная частота волны,  $\omega_L' = \tilde{\omega} - kV_{L0}$ ,  $\omega_L'' = \omega_L' - j\nu_{LN}$ ,  $V_{0L}$  — проекция дрейфовой скорости *L*-компоненты на *k*-вектор,  $\nu_{LN}$  — частота столкновений с нейтралами *L*-компоненты,  $\tilde{\omega} = \omega_R + j\gamma$ ,  $\theta$  — угол между *k*-вектором волны и магнитным полем *H*<sub>0</sub>, *M<sub>L</sub>* — масса *L*-компоненты плазмы.

Для оценки области пространственных масштабов, где расхождения гидродинамического и кинетического подходов становятся существенными, численные решения полученного из гидродинамики дисперсионного уравнения (1) сопоставлялись с вычисленными при кинетическом рассмотрении [4] зависимостями инкремента нарастания от волнового числа и угла между *k*-вектором и магнитным полем. Сопоставление проведено для плазмы с одним сортом ионов  $\text{NO}^+$ . По схожей методике оценки границ применимости гидродинамического подхода рассматривались в [7], но в этой работе предполагалась ортогональность волнового вектора магнитному полю и рассматривалась область малых надкритичностей, т. е. величина отношения  $V_{e0}/V_{Ti}$  бралась очень близкой к единице.

Параметры плазмы при решении уравнения (1) были выбраны следующими:  $N_0 = 3 \cdot 10^5 \text{ см}^{-3}$ ,  $T_e = T_i = 230 \text{ К}$ ,  $H_0 = 0,5 \text{ Гс}$ ,  $\nu_{eN} = 2,6 \cdot 10^4 \text{ с}^{-1}$ ,  $\nu_{iN} = 1,5 \cdot 10^3 \text{ с}^{-1}$ ,  $M_i/M_e = 5,5 \cdot 10^4$  — такое отношение масс соответствует ионам  $\text{NO}^+$ . Такие же параметры использовались при расчетах в [4]. Расчеты проводились для трех длин волн — 1, 2, и 4 метра при двух значениях надкритичности  $V_{e0}/V_{Ti} = 1,5$  и 3. Результаты расчетов приведены на рис. 1 и 2. Сплошными линиями показаны данные гидродинамических расчетов, прерывистыми линиями — результаты кинетических расчетов из [4]. Как видно из рисунков, при длинах волн более 4 метров гидродинамические решения отличаются от кинетических незначительно, хотя отношение  $\omega_p/\nu_{iN} = 0,5 \div 1$  при  $V_{e0}/V_{Ti} = 1,5 \div 3$ . Гидродинамический подход дает завышенные инкременты нарастания, но с ростом надкритичности расхождения между кинетикой и гидродинамикой уменьшаются.

Влияние металлических ионов  $\text{Fe}^+$  на развитие фарли-бунемановской неустойчивости проанализировано на основе численного решения дисперсионного уравнения (1), в котором учитывались два ионных члена — для ионов  $\text{NO}^+$  и  $\text{Fe}^+$ . Расчеты проводились для длин волн 1, 2 и 4 метра при равенстве концентраций  $\text{NO}^+$  и  $\text{Fe}^+$  при  $T_{i1} = T_{i2}$ ,  $N_e = 3 \cdot 10^5 \text{ см}^{-3}$ . Результаты расчетов показаны на рис. 1 и 2 штрихпунктирной линией. Для  $\lambda = 4 \text{ м}$  проведены расчеты зависимости инкремента нарастания неустойчи-

ности от соотношения концентраций  $\text{NO}^+$  и  $\text{Fe}^+$  для нескольких значений надкритичности вблизи единицы. В качестве параметра надкритичности принималась величина отношения  $V_{0e}/V_{Ti}$  для ионов  $\text{NO}^+$ . Результаты расчета показаны на рис. 3 (содержание  $\text{Fe}^+$ : 1—75%, 2—50%, 3—40%, 4—33%, 5—28%, 6—25%, 7—22%, 8—20%, 9—18%, 10—16%, 11—100%  $\text{NO}^+$ ).

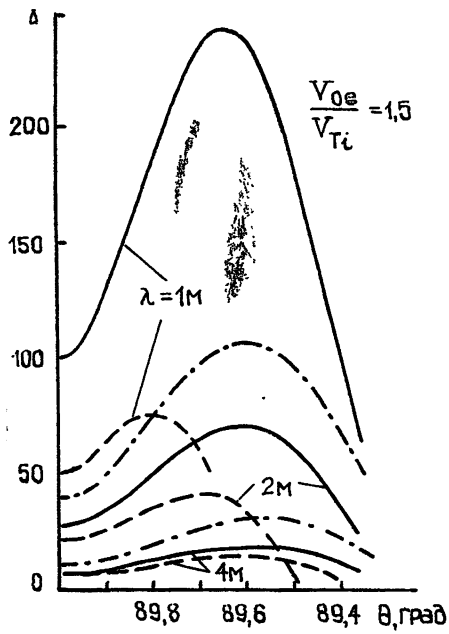


Рис. 1.

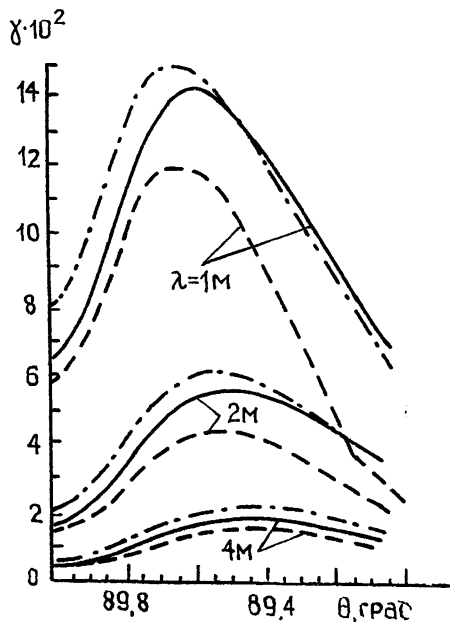


Рис. 2.

Проведенные расчеты показывают, что характер влияния ионов примеси зависит как от величины надкритичности, так и от длины волны. В наибольшей степени влияние металлических ионов сказывается при малых надкритичностях и больших длинах волн. Добавка тяжелых ионов сдвигает порог генерации в сторону меньших дрейфовых скоростей и расширяет конус генерации, что, как показано в [8], приводит к смещению уровня стабилизации неустойчивости в область больших значений  $\Delta N$ . Возможность наблюдения областей с развитой неустойчивостью определяется именно этими параметрами — конусом генерации и уровнем стабилизации.

Полученные результаты показывают, что добавки тяжелых ионов в количествах, вполне характерных для  $E$ -слоя ионосферы, могут влиять на измеряемые параметры процессов, определяемых фарли-бунемановской неустойчивостью в такой же степени, как и изменения крупномасштабного электрического поля на ионосферных высотах, что необходимо учитывать при интерпретации экспериментальных данных.

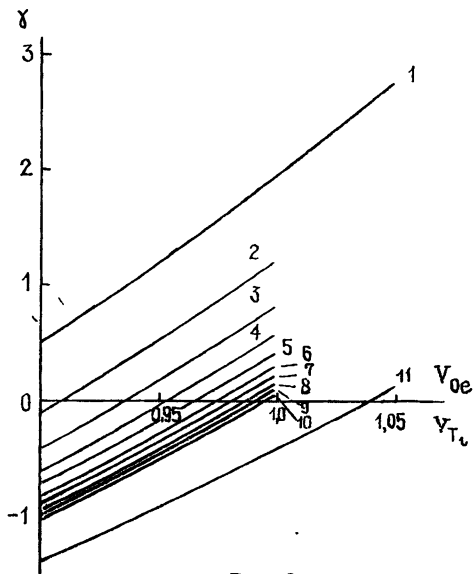


Рис. 3.

#### ЛИТЕРАТУРА

1. Farley D. T. — J. Geophys. Res., 1963, 68, p. 6083.
2. Kato S., Hirata Y. — Rep. Ionos. Space Res. Japan, 1967, 21, № 3, p. 85.

3. Гершман Б. П., Игнатъев Ю. А., Каменская Г. Х. Механизмы образования ионосферного спорадического слоя  $E_s$  на различных широтах. — М.: Наука, 1976.
4. Ossakow S. L., Paradoroulos K., Orens J., Coffey T. — J. Geophys. Res., 1975, 80, № 1, p. 141.
5. Behnke R. A., Vickrey J. F. — Radio Sci., 1975, 10, № 3, p. 325.
6. Goldberg R. A. — Radio Sci., 1975, 10, № 3, p. 329.
7. Schmidt M. J., Gary S. P. — J. Geophys. Res., 1973, 78, p. 8261.
8. Волосевич А. В., Липеровский В. А. В кн.: Высокоширотные проявления магнитосферных процессов. — Л.: Наука, 1979, с. 39.

Институт космофизических исследований  
и аэронавтики Якутского филиала  
СО АН СССР

Поступила в редакцию  
28 февраля 1984 г.

УДК 538.566.2

## КИНЕТИЧЕСКИЕ ЭФФЕКТЫ В РАСПАДАЮЩЕЙСЯ ПЛАЗМЕ

Б. Е. Немцов

В работе исследовано резонансное взаимодействие ленгмюровских волн с электронами распадающейся плазмы. Показано, что даже в случае равновесной по скоростям (максвелловской) плазмы и достаточно медленном уменьшении концентрации ( $v \ll \omega_0$ ,  $v$  — частота столкновений,  $\omega_0$  — ленгмюровская частота) возможен эффект изменения знака декремента затухания Лапдау [1].

Для исследования указанного эффекта исходим из кинетического уравнения для неравновесной части функции распределения

$$\frac{\partial f_1}{\partial t} + ikv f_1 + \left(\frac{e}{m}\right) E \left(\frac{\partial f_0}{\partial u}\right) = -\nu_0 f_1. \quad (1)$$

Здесь  $\nu_0$  — эффективная частота столкновений, и считается, что  $f_1$ ,  $E$  зависят от координат, как  $e^{ikz}$  (этот множитель в дальнейшем опускаем),  $f_0 = (N_0 e^{-\nu_0 t} / \sqrt{2\pi} v_T) \times \times \exp(-u^2/2 v_T^2)$  — равновесная функция распределения с уменьшающимся числом частиц  $N(t) = N_0 e^{-\nu t}$ . Из уравнения (1) выражаем  $f_1$  как функцию электрического поля  $E$ :

$$f_1 = \frac{e}{m \sqrt{2\pi} v_T^3} \int_{-\infty}^t u \exp(-u^2/2 v_T^2) N(t') E(t') \exp[(ikv + \nu_0)(t' - t)] dt'. \quad (2)$$

Добавка  $f_1$  определяет плотность заряда  $\rho = e \int_{-\infty}^{\infty} f_1 du$  в уравнении поля:

$$ikE = 4\pi e \int f_1 dv. \quad (3)$$

Вычислим плотность заряда  $\rho$ . После интегрирования по скорости приходим к следующему выражению для  $\rho$ :

$$\rho = \frac{ie^2 k}{m} \int_{-\infty}^t N(t') E(t') (t' - t) \exp\left\{\nu_0(t' - t) - \frac{1}{2} k^2 v_T^2 (t' - t)^2\right\} dt'. \quad (4)$$

Подставляя  $\rho$  из формулы (4) в уравнение поля (3), получаем следующее интегральное уравнение:

$$E \exp(\nu_0 t) + \int_{-\infty}^t (t-t') E(t') \exp(\nu_0 t') \omega_0^2(t') \exp\left\{-\frac{1}{2} k^2 v_T^2 (t-t')^2\right\} dt' = 0. \quad (5)$$

Здесь  $\omega_0(t') = \sqrt{4\pi e^2 N(t')/m}$  — ленгмюровская частота распадающейся плазмы.

Продифференцируем дважды по времени уравнение (5):

$$[E(t) \exp(\nu_0 t)]_{tt} + \omega_p^2(t) [E(t) \exp(\nu_0 t)] = k^4 v_T^4 \int_{-\infty}^t (t-t')^3 \omega_0^2(0) E(t') \times$$